

## اندازه‌گیری هم‌زمان دوپامین و تریپتوфан با الکترود کربن شیشه‌ای اصلاح شده با نانوگل قادسیکمانند $\text{Co}_3\text{O}_4$

نجمه شیبانی<sup>۱</sup>، شهره جهانی<sup>۲</sup> و محمدمهری فروغی<sup>۳\*</sup>\*

۱. دانشجوی دکترای شیمی تجزیه، گروه شیمی، دانشگاه آزاد اسلامی واحد کرمان، کرمان، ایران.
۲. استادیار شیمی معدنی، دانشگاه علوم پزشکی بهم، بهم، ایران.
۳. دانشیار شیمی تجزیه، گروه شیمی، دانشگاه آزاد اسلامی واحد کرمان، کرمان، ایران.

دربافت: اسفند ۹۹ بازنگری: اردیبهشت ۱۴۰۰ پذیرش: اردیبهشت ۱۴۰۰



10.30495/JACR.2022.692120



20.1001.1.17359937.1401.16.1.12.4

### چکیده

در این پژوهش الکترود کربن شیشه‌ای با نانوگل قادسیکمانند  $\text{Co}_3\text{O}_4$  برای دستیابی به یک حسگر الکتروشیمیایی با حساسیت بالا اصلاح شد. ریخت‌شناسی و خلوص نانوگل ساخته شده، با روش‌های پراش پرتو ایکس (XRD)، میکروسکوپ الکترونی رویشی (SEM)، طیف‌سنجی تفکیک انرژی (EDS) مطالعه شد. سپس، الکتروکاسایش دوپامین و تریپتوfan در سطح الکترود اصلاح شده با ولت‌آمپرسنجی چرخه‌ای، زمان‌آمپرسنجی و ولت‌آمپرسنجی تپی تفاضلی بررسی شد. تحت شرایط بهینه‌سازی شده، جریان پیک ولت‌آمپرسنجی تپی تفاضلی با افزایش غلظت دوپامین در گستره ۰/۱ تا ۹۰۰ میکرومولار افزایش یافت و حد تشخیص ۰/۰۱ میکرومولار برای دوپامین بدست آمد. الکترود اصلاح شده بهروشی بسیار خوبی پیک‌های ولت‌آمپرسنجی دوپامین و تریپتوfan را نشان داد به‌گونه‌ای که آن را برای تشخیص دوپامین در حضور تریپتوfan در نمونه‌های واقعی مناسب می‌سازد. حساسیت بالا و تکرارپذیری خوب الکترود همراه با حد تشخیص پایین را می‌توان به عنوان ویژگی‌های برجسته این الکترود نام برد. این حسگر با موفقیت برای اندازه‌گیری دقیق مقدار دوپامین و تریپتوfan در نمونه‌های آمپول و ادرار به کار برده شد.

**واژه‌های کلیدی:** دوپامین، تریپتوfan، نانوگل قادسیکمانند  $\text{Co}_3\text{O}_4$ ، ولت‌آمپرسنجی

### مقدمه

مغز یافت می‌شود مربوط به قسمت‌هایی است که تنظیم‌کننده حرکات، احساسات و عواطف است. دوپامین به عنوان پایدارکننده فعالیت‌های مغزی نقش بسیار مهمی در تنظیم جریان اطلاعات از مغز به سایر قسمت‌های بدن دارد. دوپامین، نوعی انتقال‌دهنده عصبی از خانواده کاتکول- آمین‌ها در مغز است که به‌طورطبیعی، در بدن بسیاری از موجودهای زنده وجود دارد. ناحیه‌ای که دوپامین بیشتر در

و کارامد برای اندازه‌گیری این دارو لازم است. روش‌های الکتروشیمیایی با الکترودهای اصلاح شده می‌توانند جایگزینی قوی برای روش‌های یادشده به حساب آیند [۱۰ تا ۱۶]. اصلاح سطح الکترود موجب آسانی انتقال الکترون بین گونه آنالیت و الکترود می‌شود. بنابراین، حساسیت و گزینش‌پذیری واکنش را افزایش می‌دهد [۱۷ تا ۲۲].

با پیشرفت روزافزون علم در جهان و پیدایش تحول‌های عظیمی که در چند دهه اخیر رخ داده است، گستره وسیعی از نانومواد به‌ویژه نانوذره‌ها با ویژگی‌های بسیار کاربردهای زیادی در روش‌های شیمی تجزیه پیدا کرده‌اند. اندازه کوچک نانوذره‌ها (به‌طور معمول در گستره ۱ تا ۱۰۰ نانومتر) موجب شده که ویژگی‌های شیمیایی، فیزیکی و الکترونیکی بی‌مانندی را نشان دهند و به عنوان اصلاحگر در ساخت حسگرهای جدید و پیشرفته و به‌ویژه حسگرهای الکتروشیمیایی و زیست‌حسگرها بتوانند به کارگرفته شوند. امروزه دانشمندان از بین انواع متفاوت نانوذره‌ها، به نانوذره‌های اکسیدهای فلزی به‌دلیل ویژگی‌های بی‌همتا، به‌طور ویژه توجه دارند [۳۱ تا ۳۳].

کیالت اکسید ( $\text{Co}_3\text{O}_4$ ) یک ماده نیم‌رسانا از نوع p و سازگار با محیط‌زیست است [۳۴]. به‌دلیل در دسترس بودن، ارزانی تولید و پایداری از کیالت اکسید در زمینه‌های متفاوتی مانند ذخیره انرژی [۳۳]، کاتالیست ناهمگن [۳۴]، حسگر [۳۵] و اصلاحگرهای الکتروشیمیایی [۳۶] استفاده می‌شود. ویژگی‌های این ترکیب به‌شدت به ریخت و اندازه ذره‌های این ترکیب وابسته است [۳۷]. در حال حاضر، روش‌های بسیاری برای تهیه این ترکیب وجود دارد. اما روش‌های موجود پیچیده هستند و نیاز به دمای بهنسبت بالا دارند. در همین راستا، در این کار پژوهشی، یک مسیر حلال‌گرمایی ساده و سازگار با زیست برای ساخت نانوگل‌های قاصدک-

همچنین، دوپامین تأثیر بسیار زیادی در واپاپیش حرکات دارد. دوپامین به عنوان یک پیام‌رسان، شbahت زیادی به آدرنالین دارد [۱]. در مواردی بیماران پارکینسونی به علت کمبود دوپامین در مغز به این بیماری دچار هستند. تریپتوфан یکی از بیست و دو آمینو اسید اصلی یاخته‌های زنده و از آمینو اسیدهای ضروری در رژیم غذایی انسان است که در موش‌ها نیز به عنوان یک فاکتور رشد شناسایی شده است. این آمینو اسید در ساختمان بسیاری از پروتئین‌ها وجود دارد و نیز در ساخت برخی میانجی‌های عصبی مانند سروتونین و کوآنزیم-هایی مانند نیاسین مؤثر است. بدنه ما از راه تریپتوfan، سروتونین می‌سازد. سروتونین یکی از ناقل‌های عصبی فعال در سامانه عصبی مرکزی و دستگاه گوارش است. نقش در سامانه عصبی مرکزی در لوله گوارش این است که هضم غذا را واپاپیش می‌کند در حالی که در سامانه عصبی مرکزی نقش واپاپیش خلق و خوی، خواب، اشتها، قدرت یادگیری و حافظه را بر عهده دارد. سروتونین همچنین، در ساخت استخوان‌ها نیز نقش دارد. کمبود این هورمون در خون موجب افزایش حالتی مانند افسردگی، دلهزه، دردهای میگرنی، فشارخون بالا و بی‌خوابی می‌شود [۲ تا ۴].

اندازه‌گیری دوپامین و تریپتوfan از جنبه بالینی از اهمیت بالایی برخوردار است. روش‌هایی که تا به امروز برای اندازه‌گیری دوپامین و تریپتوfan به کاربرده شده‌اند شامل سوانگاری مایع با کارابی بالا [۵]، طیفنورسنجی [۶]، الکتروکوچ [۷]، لومینسانس شیمیایی [۸] و فلورسانس [۹] است. به هر حال این روش‌ها از معایبی مانند، قیمت بالا، زمان تجزیه بالا و نیاز به پیش‌پرداخت نمونه سخت و پیچیده و در برخی موارد حساسیت و گزینش‌پذیری پایین رنج می‌برند که موجب نامناسب بودن آن‌ها برای اندازه‌گیری روزانه شده است. یافتن روشی مناسب با حساسیت بالا، ساده

دستگاه‌های مورد استفاده همه مطالعه‌های ولت‌آمپرسنجی با دستگاه پتانسیومات/گالوانو استات (سما ۵۰۰، سامانه آنالیزور، ایران) انجام شد. اندازه‌گیری‌های ولت‌آمپرسنجی در یک سل سه الکتروودی مشکل از الکتروود مرجع Ag/AgCl حاوی محلول اشباع پتاسیم کلرید، الکتروود کمکی سیم پلاتین و الکتروود کار کربن شیشه‌ای (اصلاح شده و یا اصلاح نشده) صورت گرفتند. برای تهیه محلول‌های بافر به عنوان الکتروولیت حامل در آزمایش‌های ولت‌آمپرسنجی، از دستگاه pH متر دیجیتالی، مدل ۶۹۱ ساخت شرکت متروم کشور سوئیس، مجهز به الکتروود ترکیب کالومل شیشه‌ای برای تنظیم‌های pH استفاده شد. از دستگاه فراصوت مدل TOPSONIC ساخت کارخانه شرکت توسعه مافوق صوت برای تمیز کردن سطح الکتروودها، پخش بهتر نانوگل‌های قاصدکی و تهیه محلول‌های همگنی از نمونه‌های مورد آزمایش استفاده شد. تصاویر مربوط به میکروسکوپ الکترونی روبشی (SEM) با VEGA2 TESCAN میکروسکوپ ساخت شرکت مرك آلمان با خلوص ۹۹٪ خردباری و جمهوری چک تهیه شدند.

ساخت نانوگل قاصدک مانند  $\text{Co}_3\text{O}_4$  برای تهیه نانوگل قاصدک مانند  $\text{Co}_3\text{O}_4$  (ابتدا، ۰/۱۵ گرم کیالت کلرید ( $\text{CoCl}_2 \cdot 6\text{H}_2\text{O}$ )، ۰/۳ گرم اوره در ۱۰ میلی لیتر آب حل شد و سپس ۱۰ میلی لیتر اتیلن گلیکول به آن افزوده و به مدت ۳۰ دقیقه هم‌زده شد. سپس مواد به دستگاه دم‌فشار منتقل و ۱۸ ساعت در دما  $140^{\circ}\text{C}$  قرار داده شد. رسوب به دست آمده با آب و اثانول شسته و به مدت ۳ ساعت در دمای  $400^{\circ}\text{C}$  کلینینه شد.

ساخت الکتروود کربن شیشه‌ای اصلاح شده با نانوگل قاصدک مانند  $\text{Co}_3\text{O}_4$  برای اندازه‌گیری‌های الکتروشیمیایی برای تهیه الکتروود کربن شیشه‌ای اصلاح شده، ابتدا

مانند  $\text{Co}_3\text{O}_4$  ایجاد و از این نانوذره برای اصلاح سطح الکتروود کربن شیشه‌ای<sup>۲</sup> (GCE) برای اندازه‌گیری هم‌زمان دوپامین و تریپتوفان استفاده شده است. نتیجه‌ها نشان دادند که الکتروود اصلاح شده اثر الکتروکاتالیستی برجسته‌ای نسبت به الکتروواکسایش دوپامین و تریپتوفان نشان می‌دهد که منجر به بهبود قابل توجه پیک اکسایشی می‌شود. افزون برآن، پایداری، طول عمر و خواص شیمیایی الکتروود اصلاح شده جدید بررسی شدند. برپایه نتیجه‌های به دست آمده، روش الکتروشیمیایی جدید برای اندازه‌گیری تکرارپذیر و حساس دوپامین و تریپتوفان در نمونه‌های دارویی توسعه داده شد.

### بخش تجربی

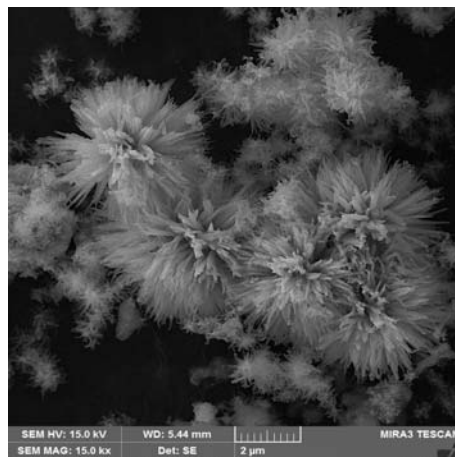
مواد شیمیایی و معرفه‌های مورد استفاده دوپامین، تریپتوفان، اتیلن گلیکول، اثانول و کیالت کلرید از شرکت سیگما الدریج با خلوص ۹۹/۹۹٪ خردباری و بدون هیچ‌گونه خالص‌سازی استفاده شدند. فسفریک اسید، پتاسیم دی‌هیدروژرن فسفات و پتاسیم هیدروکسید استفاده شده در تهیه بافرها، همگنی از شرکت مرک آلمان با خلوص ۹۹٪ خردباری و بدون هیچ‌گونه خالص‌سازی مورد استفاده قرار گرفتند. بافر فسفات با افزودن محلول‌های رقیق  $\text{H}_3\text{PO}_4$  یا  $\text{KOH}$  به محلول ۰/۱ مولار نمک  $\text{KH}_2\text{PO}_4$  (بافر فسفاتی) و تنظیم pH محلول به دست آمده با دستگاه pH متر تهیه شدند.

### نمونه دارویی

آمپول دوپامین (۲۰۰ میلی گرم در ۵ میلی لیتر) از شرکت ایران دارو خردباری شدند. یک میلی لیتر از این آمپول در ۱۰ ml میلی لیتر محلول بافر فسفات با pH برابر با ۸ حل شد و در اندازه‌گیری‌های کمی با روش ولت‌آمپرسنجی تپی تفاضلی به کار گرفته شد.

1. Dandelion like  $\text{Co}_3\text{O}_4$  nanoflower (DNF- $\text{Co}_3\text{O}_4$ )

2. Glassy carbon electrode (GCE)



شکل ۲ تصویر SEM نانوگل قاصدکمانند  $\text{Co}_3\text{O}_4$

شکل ۳ طیف EDS نانوگل قاصدکمانند  $\text{Co}_3\text{O}_4$  نشان می‌دهد. همان‌گونه که مشاهده می‌شود نانوگل از عناصر کبالت و اکسیژن تشکیل شده است. با به کارگیری تجزیه عنصری (نگاشت<sup>۱</sup> EDS) مشخص می‌شود که پراگندگی ذره‌ها یکنواخت است.

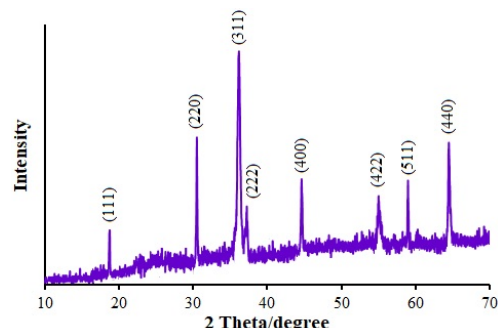
اکسایش الکتروشیمیایی دوپامین در سطح  $\text{Co}_3\text{O}_4/\text{GCE}$  شکل ۴ نمودارهای ولتاپرسنجی چرخه‌ای الکترود کربن شیشه‌ای اصلاح‌نشده (b) و الکترود کربن شیشه‌ای اصلاح‌شده با نانوگل

قاصدکمانند  $\text{Co}_3\text{O}_4$  (a) در محلول بافر فسفات ۰/۱ مولار با  $\text{pH}=7$  را در حضور ۲۰۰٪ میکرومولار دوپامین نشان می‌دهد. همان‌گونه که مشاهده می‌شود، افزایش نانوگل قاصدکمانند  $\text{Co}_3\text{O}_4$  به الکترود اصلاح‌نشده موجب افزایش جریان (افزایش حساسیت اندازه‌گیری) و کاهش اضافه ولتاژ اکسایش دوپامین به میزان ۱۱۰ میلیولت می‌شود (فرایند اکسایش دوپامین در پتانسیل ۳۷۰ میلیولت اتفاق می‌افتد).

۱ میلی‌گرم از نانوگل قاصدکمانند  $\text{Co}_3\text{O}_4$  وزن شد و داخل یک میکرولوله ریخته و به آن ۱ میلی‌لیتر آب مقدار افزوده شد. سپس، میکرولوله به مدت ۱ ساعت داخل حمام فراصوت گذاشته شد تا نانوگل قاصدکمانند به صورت یکنواخت پخش شود. پس از آن، حدود ۴ میکرولیتر از محلول داخل میکرولوله را با نمونه‌بردار روی کربن شیشه‌ای چکانده شد و ۲۰ دقیقه زمان داده شد تا الکترود خشک شود.

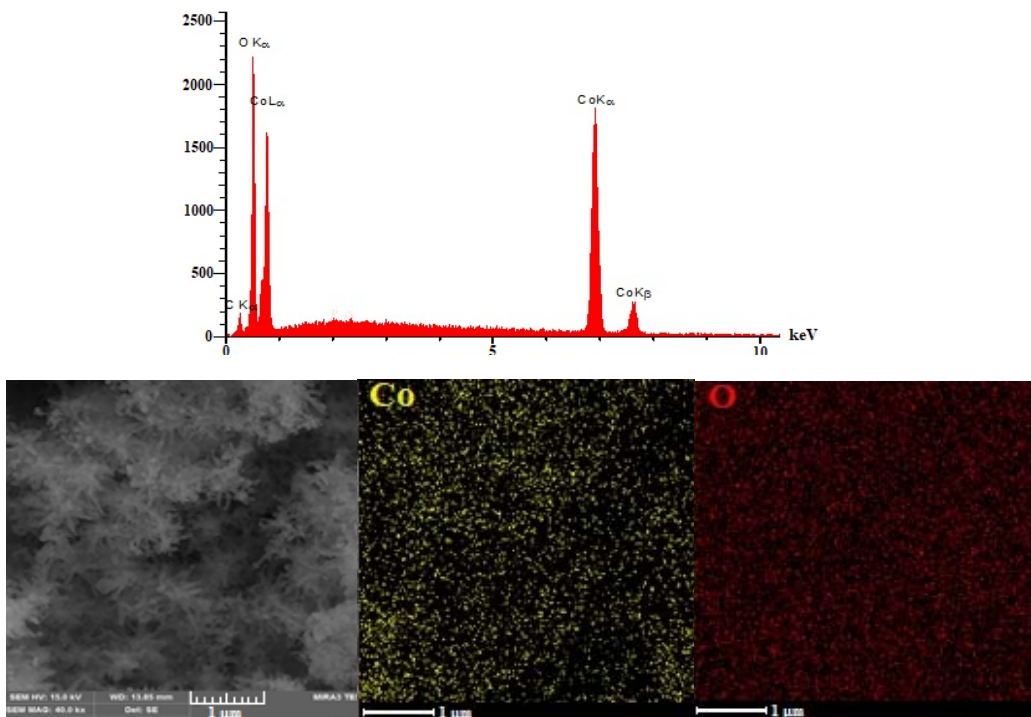
## نتیجه‌ها و بحث

شناسایی نانوگل قاصدکمانند  $\text{Co}_3\text{O}_4$  الگوی XRD، نانوگل قاصدکمانند  $\text{Co}_3\text{O}_4$  در شکل ۱ نشان داده شده است که با نمونه استاندارد ترکیب مکعبی کبالت اکسید ( $\text{Co}_3\text{O}_4$ ) (JSPDS NO. 47-1049) به طور کامل همخوانی دارد. به بیان دیگر، نانوذره‌های تهیه شده فقط از یک فاز (نانوبلور کبالت اکسید) تشکیل شده و خالص است. شکل ۲ نشان‌دهنده تصاویر SEM نانوگل قاصدکمانند  $\text{Co}_3\text{O}_4$  است. همان‌طور که در شکل ۲ مشخص است ذره‌ها به صورت قاصدک و اندازه آن‌ها در گستره میکرو است. بدليل ساختار شاخه‌ای، نمونه تخلخل بالای دارد. با توجه به شکل ۵ اندازه شاخه از نانوگل قاصدکمانند  $\text{Co}_3\text{O}_4$  در حدود ۵۰ نانومتر است.



شکل ۱ الگوی XRD نانوگل قاصدکمانند  $\text{Co}_3\text{O}_4$

1. Mapping



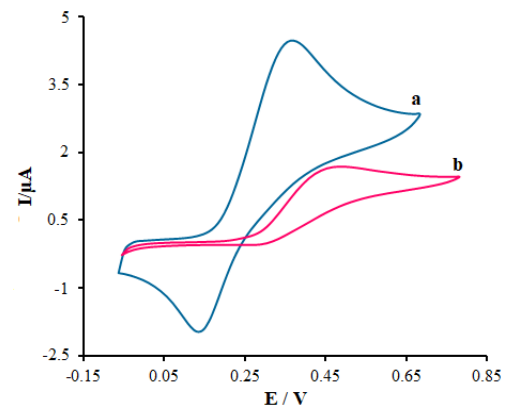
شکل ۳ طیف EDS و تجزیه عنصری (نگاشت EDS) نانوگل قاصدک‌مانند  $\text{Co}_3\text{O}_4$

اثر سرعت روش پتانسیل در رفتار الکتروشیمیایی دوپامین در سطح  $\text{DNF}-\text{Co}_3\text{O}_4/\text{GCE}$

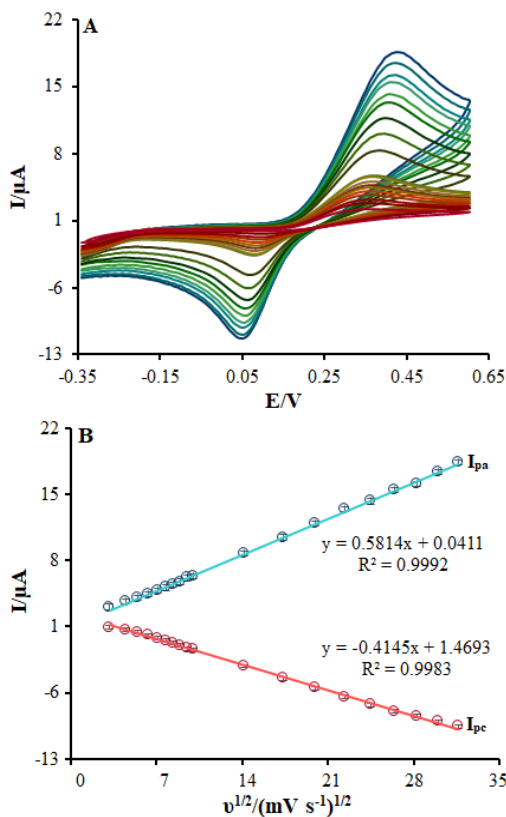
شکل ۵ نمودارهای ولت‌آمپرسنجی چرخه‌ای ( $\text{Co}_3\text{O}_4/\text{GCE}$ ) را در محلول بافر فسفات  $\text{M} = ۰/۱$  با  $\text{pH} = ۷/۰$  که نسبت به دوپامین  $\text{M} = ۱۰۰/۰ \mu\text{M}$  است، در سرعت-

های روشن متفاوت نشان می‌دهد. همان‌گونه که مشاهده می‌شود، با افزایش سرعت روش پتانسیل پیک اکسایش دوپامین به سمت پتانسیل‌های مثبتتر جایه‌جا می‌شود که بیانگر ایجاد محدودیت سیستیکی در واکنش الکتروشیمیایی است.

شکل ۵ نشان می‌دهد که نمودار تغییرهای جریان دماغه آندی و کاتدی مربوط به اکسایش و کاهش دوپامین به طور



شکل ۴ نمودارهای ولت‌آمپرسنجی چرخه‌ای الکتروود کربن شیشه‌ای اصلاح‌نشده (b) و الکتروود کربن شیشه‌ای اصلاح‌شده با نانوگل قاصدک‌مانند  $\text{Co}_3\text{O}_4$  (a) در حضور  $۲۰۰/۰$  میکرومولار دوپامین،  $\text{pH} = ۷/۰$  در سرعت روش  $۱۰۰$  میلی ولت/ثانیه



شکل ۵ نمودارهای ولت‌آمپرسنجی چرخه‌ای DNF-Co<sub>3</sub>O<sub>4</sub>/GCE در محلول باfer فسفات ۰/۱ M با pH = ۷/۰ یا ۱۰۰/۰ μM دوپامین در سرعت روبش‌های متفاوت (به ترتیب از پایین به بالا) ۱۰، ۳۰، ۲۰، ۴۰، ۵۰، ۶۰، ۷۰، ۸۰، ۹۰، ۱۰۰، ۲۰۰، ۳۰۰، ۴۰۰، ۵۰۰، ۶۰۰، ۷۰۰، ۸۰۰، ۹۰۰ و ۱۰۰۰ mVs<sup>-1</sup> (A) و نمودار تعییرهای جریان بر حسب جذر سرعت روبش پتانسیل در محلول باfer فسفات M ۰/۱ با pH = ۷/۰ یا ۱۰۰/۰ μM دوپامین (B).

خطی متناسب با ریشه دوم سرعت روبش پتانسیل ( $v^{1/2}$ ) در گستره ۱۰ تا ۱۰۰۰ mV s<sup>-1</sup>، افزایش می‌یابد. بنابراین، می‌توان برپایه معادله راندلز-سویک (معادله ۱) نتیجه گرفت که فرایند اکسایش الکتروشیمیایی دوپامین در سطح الکترود کربن شیشه‌ای اصلاح شده موردنظر، تحت واپاش انتقال جرم است و برای اکسایش به سمت الکترود نفوذ می‌کند [۳۸].

$$I_p = 2.69 \times 10^5 n^{3/2} ACD^{1/2} v^{1/2} \quad (1)$$

که در این معادله n تعداد الکترون، D ضریب انتشار غلظت گونه الکتروفعال در توده محلول (M) و  $v$  (Vs<sup>-1</sup>) سرعت روبش پتانسیل است. برای تعیین ضریب انتقال الکtron در سطح الکترود کربن شیشه‌ای اصلاح شده با نانوگل قاقدکمانند Co<sub>3</sub>O<sub>4</sub> از منحنی تافل استفاده شد. شکل ۶ منحنی تافل به دست آمده برای الکترود اصلاح شده در حضور ۱۰۰/۰ میکرومولار دوپامین در سرعت روبش ۱۰ mV/s را با نمودار ولت‌آمپرسنجی روبش خطی نشان می‌دهد. شیب تافل به دست آمده برابر است با  $110.1 \text{ V}^{1/2}$ ، که نشان‌دهنده ماهیت مرحله تعیین‌کننده سرعت فرایند اکسایش الکتروشیمیایی به صورت یک فرایند انتقال بار تک الکترونی است. مقدار ضریب انتقال (α) نیز برابر با ۰/۴۶ به دست می‌آید [۳۸].

تحت واپايش نفوذ باشد، مقدارهای جريان برحسب زمان برپایه معادله کاترل ۲ به دست می‌آيد [۳۸].

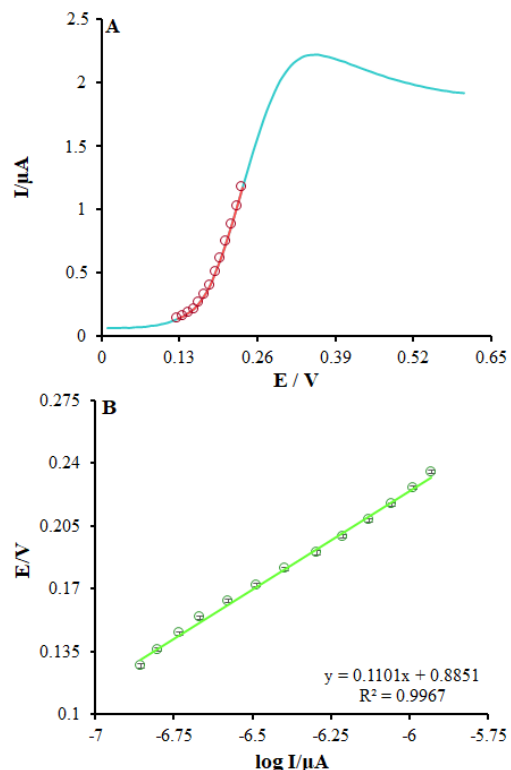
$$I = nFAD^{1/2}C_b\pi^{-1/2}t^{-1/2} \quad (2)$$

نمودار A شکل ۷ تغییرهای  $I-t$  را برای غلظت‌های متفاوت از دوپامین نشان می‌دهد. همان‌گونه که مشاهده می‌شود، این تغییرها خطی هستند که بیانگر واپايش فرایند با نفوذ است. در نمودار B شکل ۷ تغییرهای شب خطوط  $I-t^{1/2}$  بر حسب غلظت دوپامین رسم شده است. از روی شب نمودار به دست آمده و با استفاده از معادله کاترل، مقدار میانگین ضریب نفوذ دوپامین برابر با  $1.6 \times 10^{-5} \text{ cm}^2 \text{s}^{-1}$  به دست آمد.

#### بررسی اکسایش الکتروشیمیایی دوپامین به روش ولت آمپرسنجی تپی تفاضلی

روش ولت آمپرسنجی تپی تفاضلی با نمونه‌برداری از جریان در آخرین لحظات عمر تپ پتانسیل، موجب می‌شود که بخش‌هایی از جریان خازنی که از تغییر مستمر پتانسیل در طول زمان نشأت می‌گیرند به مقدار قابل توجهی کاهش یابند و حساسیت روش افزایش یابد. بنابراین، برای اندازه‌گیری‌های کمی در این کار بروهشی از روش ولت آمپرسنجی تپی تفاضلی استفاده شد، تحلیل داده‌های به دست آمده از ولتاومگرام‌های تپی تفاضلی در شکل ۸ آورده شده است. نمودار تغییرهای جریان نمودارهای ولت آمپرسنجی رسم شده بر حسب غلظت دوپامین دارای گستره خطی در غلظت‌های ۰/۱ تا ۹۰۰/۰ میکرومولار است. حد تشخیص در این روش ۰/۰۱ میکرومولار به دست آمد.

اندازه‌گیری همزمان دوپامین و تریپتوفان به روش ولت آمپرسنجی تپی تفاضلی یکی از مشکل‌های اندازه‌گیری دوپامین در نمونه‌های زیستی نزدیک‌بودن پتانسیل‌های اکسایش دوپامین و



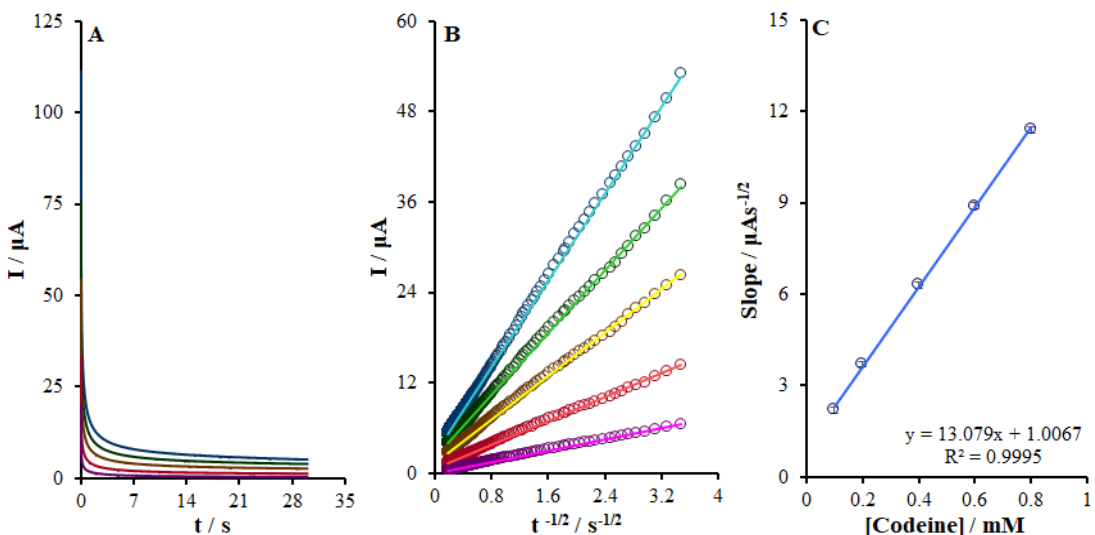
شکل ۶ نمودار ولت آمپرسنجی روبش خطی DNF-Co<sub>3</sub>O<sub>4</sub>/GCE در محلول بافر سففات pH ۷/۰ با ۰/۱ μM دوپامین در سرعت ۱۰ mV s<sup>-1</sup> (A) و ۰/۱ mV s<sup>-1</sup> (B) نمودار تغییرهای پتانسیل پیک نسبت به لگاریتم جریان

#### بررسی اکسایش الکتروشیمیایی دوپامین به روش زمان- آمپرسنجی

اکسایش الکتروشیمیایی دوپامین در سطح (DNF-Co<sub>3</sub>O<sub>4</sub>/GCE) با روش زمان آمپرسنجی نیز مطالعه شد. به این منظور، محلول‌هایی با غلظت‌های متفاوت از دوپامین در سل الکتروشیمیایی قرار گرفته، و با پله پتانسیل ۴۲۰ mV کرونوامپروگرام‌ها رسم شدند (شکل ۷). داده‌های نمودارهای زمان آمپرسنجی به دست آمده نشان می‌دهند که با افزایش غلظت دوپامین جریان زمان آمپرسنجی نیز افزایش می‌یابد و جریان نسبت به زمان روند نزولی دارد که به خوبی نمایانگر رفتار کاترلی در سطح الکتروود است. در صورتی که فرایند موردنظر

گونه‌ها ثبت شد (شکل ۹). همان‌طور که مشاهده می‌شود دو نشانک مجزا برای این دو ترکیب مشاهده شده است. این تفاوت پتانسیل شرایط کافی برای تجزیه این دو ترکیب را به صورت همزمان فراهم می‌سازد. در شکل‌های B-۹ و C، نمودار شدت جریان بر حسب غلظت برای هر دو گونه آورده شده است.

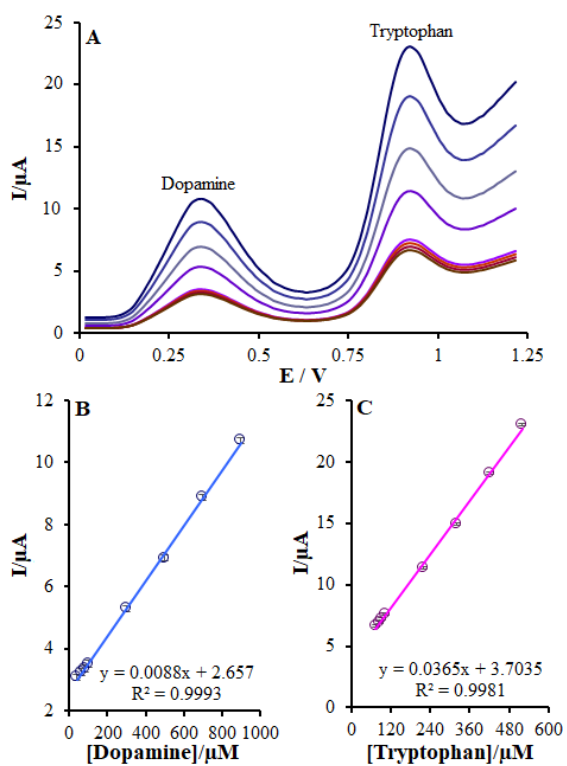
تریپتوфан است که مانع اندازه‌گیری دقیق دوپامین می‌شود. از این‌رو، با جداسازی این دو گونه روی الکترود کربن شیشه‌ای اصلاح شده، همپوشانی پیک‌های اکسایش دوپامین و تریپتوfan به‌طور قابل توجهی کاهش و جریان پیک اکسایش آن‌ها افزایش می‌یابد. برای بررسی امکان تجزیه همزمان دوپامین و تریپتوfan، نمودارهای ولت‌آمپرسنجی تپی تفاضلی الکترود اصلاح شده در حضور مقدار متفاوت این



شکل ۷ نمودارهای زمان‌آمپرسنجی الکترود کربن شیشه‌ای اصلاح شده (DNF-Co<sub>3</sub>O<sub>4</sub>/GCE) در محلول بافر فسفات M pH = ۷/۰ با ۴۲۰ mV (A)، (B) نمودار تغییرهای t<sup>-1/2</sup> - I به دست آمده از نمودارهای زمان‌آمپرسنجی ۱ تا ۵ و نمودار شبی خطوط t<sup>-1/2</sup> - I بر حسب غلظت دوپامین (C) در محلول بافر فسفات M pH = ۷/۰ با ۰/۱ M با ۰/۶ میلی‌مولار دوپامین (به ترتیب از پایین به بالا) و پله پتانسیل

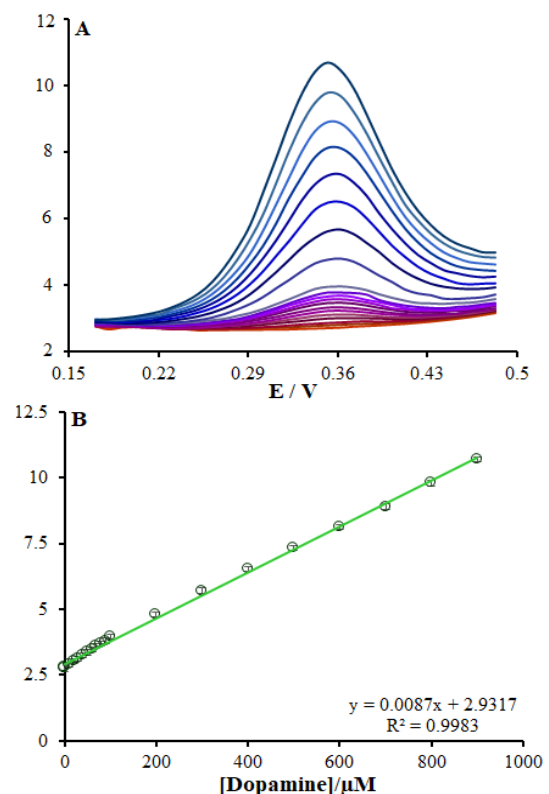
به داخل سل الکتروشیمیایی منتقل و با الکترود ساخته شده اندازه‌گیری‌ها انجام شد. نتیجه‌های به دست آمده بسیار نزدیک به غلظت‌های تزریق شده هستند و بیانگر کارآیی بالای الکترود ساخته شده در اندازه‌گیری دوپامین و تریپتوfan در نمونه‌های حقیقی هستند (جدول ۱).

**تجزیه نمونه‌های حقیقی**  
برای ارزیابی الکترود ساخته شده برای سنجش دوپامین و تریپتوfan در نمونه‌های حقیقی، از الکترود موردنظر برای اندازه‌گیری دوپامین و تریپتوfan در نمونه‌های آپول دوپامین و ادرار استفاده شد. بدین منظور غلظت‌های مشخصی از نمونه‌های حقیقی (برای هر غلظت ۵ مرتبه تکرار انجام گرفت)



شکل ۹ نمودارهای ولت‌آمپرسنگی تپی تفاضلی در محلول بافر DNF-Co<sub>3</sub>O<sub>4</sub>/GCE در pH = ۷،۰ با M = ۰،۱ در سطح DNF-Co<sub>3</sub>O<sub>4</sub>/GCE در محلولی با غلظت‌های متفاوت از دوپامین و تریپتوфан به ترتیب از ۰،۰۵، ۰،۰۲، ۰،۰۱ و ۰،۰۰ مول/L دارای انتشار اکسیداسیونی است. نمودار تغییرهای جریان نمودارهای ولت‌آمپرسنگی تپی تفاضلی بر حسب غلظت دوپامین (B) و تریپتوfan (C)

بررسی های الکتروشیمیایی نشان داد افزایش نانوگل  
قادسیک مانند  $\text{Co}_3\text{O}_4$  موجب افزایش قابل توجه جریان پیک  
اکسایش دوپامین می شود. منحنی واسنجی برای دوپامین  
خطی در گستره غلاظت  $0.1 \text{ تا } 900 \mu\text{M}$  میکرومولار و حد  
تشخص  $0.1 \mu\text{M}$  میکرومولار محاسبه شد. همچنین، این



شکل ۸ نمودارهای ولت‌امپرسنجری تپی تفاضلی در محلول بافر  
 فسفات M<sub>۰/۱</sub> با pH = ۷/۰ در سطح الکترود کربن شیشه‌ای  
 اصلاح شده (DNF-C<sub>۰/۴</sub>O<sub>۳</sub>/GCE) در غلظت‌های ۱/۰، ۰/۰، ۰/۰، ۰/۰، ۰/۰، ۰/۰، ۰/۰ و ۰/۰ میکرومولار دوپامین (بهترتیب از پایین به بالا) در محلول بافر  
 فسفات ۰/۱ مولار با pH = ۷ (A) و نمودار تغییرهای جریان بر  
 حسب غلظت دوپامین در گستره غلظتی ۰/۰ تا ۹۰۰/۰ میکرومولار (B)

نتیجہ گیری

در این کار پژوهشی یک روش ساده و کم هزینه برای ساخت نانوگل قاصلد کمانند  $\text{CO}_3\text{O}_4$  با روش حلال گرمایی گزارش شد. سپس، تعلیقه آن برای ساخت یک حسگر الکتروشیمیا، حساس، حذید به کار ب ده شد. نتیجه

### سپاسگزاری

نویسنده‌گان این مقاله از دانشگاه آزاد برای همکاری و در اختیار قراردادن امکانات آزمایشگاهی کمال امتنان و تشکر را دارند.

الکترود قابلیت جداسازی پیک دوپامین و تریپتوфан را نیز داشت. این نتیجه موجب می‌شود که بهتوان با این الکترود این دو گونه را بهطور همزمان اندازه‌گیری کرد. بهبیان دیگر، این حسگر قابلیت‌های زیادی برای تعیین دقیق دوپامین و تریپتوfan در نمونه‌های دارویی دارد.

جدول ۱ استفاده از DNF-Co<sub>3</sub>O<sub>4</sub>/GCE برای اندازه‌گیری دوپامین و تریپتوfan در

نمونه‌های آمپول دوپامین و ادرار (n=5)

درصد بازیابی	غلظت یافت شده*		غلظت افزوده شده		نمونه
	دوپامین	تریپتوfan	دوپامین	تریپتوfan	
۰	۰	۰	۲,۵ ± ۰,۲	۰	آمپول دوپامین
۹۸,۶	۱۰۲,۰	۷۴,۰ ± ۰,۷	۵۱,۰ ± ۰,۴	۷,۵	
۱۰۲,۴	۹۹,۰	۱۲,۸ ± ۰,۲	۹,۹ ± ۰,۵	۱۲,۵	
۹۹,۴	۹۸,۰	۱۷,۴ ± ۰,۶	۱۴,۷ ± ۰,۳	۱۷,۵	
۱۰۱,۳	۱۰۰,۸	۲۲,۸ ± ۰,۵	۲۲,۷ ± ۰,۸	۲۲,۵	
۱۰۲,۰	۹۸,۶	۱۰,۲ ± ۰,۹	۱۴,۸ ± ۰,۶	۱۰,۰	
۱۰۳,۰	۹۹,۶	۲۰,۶ ± ۰,۴	۲۹,۴ ± ۰,۳	۲۰,۰	
۹۷,۶	۱۰۱,۱	۲۹,۳ ± ۰,۳	۳۵,۴ ± ۰,۴	۳۰,۰	
۱۰۰,۵	۹۹,۱	۴۰,۲ ± ۰,۶	۴۴,۶ ± ۰,۵	۴۰,۰	ادرار

ا \* انحراف استاندارد ± میانگین (برای پنج بار تکرار)

### مراجع

- [1] Iranmanesh, T.; Foroughi, M.M.; Jahani, Sh.; Shahidi Zandi, M.; Hassani Nadiki, M.; Talanta 207, 120318, 2020.
- [2] Yilmaz, C.; Gokmen, V.; Food Chem. 243, 420-441, 2018.
- [3] Goya, R.N.; Bishnoi, S.; Chasta, H.; Abdul Aziz, M.; Oyama, M.; Talanta 85, 2626, 2011.
- [4] Chen, G.Y.; Zhong, W.; Zhou, Z.; Zhang, Q.; Anal. Chim. Acta. 1037, 200-215, 2018.
- [5] Fitznar, H.P.; Lobbes, J.M.; Kattner, G.; J. Chromatogr. A. 832, 123-140, 1999.
- [6] Reynolds, D.M.; Water Res. 37, 3055-3069, 2003.
- [7] Duan, H.; Wang, L.; Li, X.; Wang, Y.; Li, J.; Luo C.; Electrochim. Acta. A. 139, 374-391, 2015.
- [8] Fang, H.; Pajski, M.L.; Ross, A.E.; Venton, B.J.; Anal. Methods 5, 2704-2428, 2013.
- [9] Sikorska, E.; Gliszczynskaswiglo, A.; Insinskarak, M.; Khmelinskii, I.; Dekeukeleire, D.; Sikorski, M.; Anal. Chim. Acta. 613, 207-231, 2008.
- [10] Hajjar, Z.; Soltanali, S.; Tayyebi, S.; Masoumi, M.; J. Appl. Res. Chem. (JARC) 12, 71-78, 2018.
- [11] Rajaei, M.; Foroughi, M.M.; Jahani, Sh.; Shahidi Zandi, M.; Hassani Nadiki, H.; J. Mol. Liq. 284, 462-480, 2019.

- [12] Sheikh Mohseni, M.A.; Pirsa, S.; Anal. Bioanal. Electrochem 8, 777-789, 2016.
- [13] Jafari, S.; Dehghani, M.; Ghoreshi, E.S.; Nasirizadeh, N.; J. Appl. Res. Chem. (JARC) 13, 115-127, 2019.
- [14] Sheikh Mohseni, M.A.; Pirsa, S.; Electroanalysis 28, 2075-2080, 2016.
- [15] Foroughi, M.M.; Jahani, Sh.; Hasani Nadiki, H.; Sens. Actuators B 285, 562-582, 2019.
- [16] Sharifi, K.; Pirsa, S.; Chem. Rev. Lett. 3, 192-201, 2020.
- [17] Motaharian, A.; Naseri, K.; Mehrpour, O.; J. Appl. Res. Chem. (JARC) 13, 65-76, 2019.
- [18] Alizadeh, N.; Pirsa, S.; Mani-Varnosfaderani, A.; Alizadeh, M.S.; IEEE Sens. J. 15, 4130-4136, 2015.
- [19] Safaei, M.; Foroughi, M.M.; Ebrahimpoor, N.; Jahani, Sh.; Omidi, A.; Khatami, M.; Trends Anal. Chem. 118, 401-450, 2019.
- [20] Alizadeh, N.; Ataei, A.A.; Pirsa, S.; J. Iranian Chem. Soc. 12, 1585-1594, 2015.
- [21] Ahmadi, H.; Kargosha, K.; Hemmatkhah, P.; J. Appl. Res. Chem. (JARC) 11, 43-49, 2017.
- [22] Ghasemi, S.; Rezazadeh Bari, M.; Pirsa, S.; Amiri, S.; Carbohydr. Polym. 232, 115801, 2020.
- [23] Arefi Nia, N.; Foroughi, M.M.; Jahani, Sh.; Shahidi Zandi, M.; Rastakhiz, N.; J. Electrochem. Soc. 166, B489-B500, 2019.
- [24] Pirsa, S.; Heidari, H.; Lotfi, J.; IEEE Sens. J. 16, 2922-2928, 2016.
- [25] Pirsa, S.; Mohammad Nejad, F.; Sens. Rev. 37, 155-164, 2017.
- [26] Kamyabi, M.A.; Sharifi-Rad, S.; J. Appl. Res. Chem. (JARC) 10, 63-71, 2016.
- [27] Ahmadi, M.T.; Ismail, R.; Anwar, S.; "Handbook of Research on Nanoelectronic Sensor Modeling and Applications", Chap. 6, IGI Global, USA, 2017.
- [28] Foroughi, M.M.; Jahani, Sh.; Rajaei, M.; J. Electrochem. Soc. 166, B1300-B1311, 2019.
- [29] Pirsa, S.; Zandi, M.; Almasi, H.; Hasanlu, S.; Sens. Lett. 13, 578-583, 2015.
- [30] Moosavi Keyesh, S.Z.; Mombeni Goodajdar, B.; J. Appl. Res. Chem. (JARC) 14, 19-27, 2020.
- [31] Pirsa, S.; Heidari, H.; Sens. Lett. 15, 19-24, 2017.
- [32] Torkzadeh-Mahani, R.; Foroughi, M.M.; Jahani, Sh.; Kazemipour, M.; Hassani Nadiki, H.; Ultrason. Sonochem. 56, 183, 2019.
- [33] Koumoto, K.; Yanagida, H.; Commun. Am. Ceram. Soc. 64, C-156, 1981.
- [34] Jansson, J.; Palmqvist, A.E.C.; Fridell, E.; Skoglundh, M.; Österlund, L.; Thormählen, P.; Langer, V.; J. Catal. 211, 387, 2002.
- [35] Cao, A.M.; Hu, J.S.; Liang, H.P.; Song, W.G.; Wan, L.J.; He, X.L.; Gao, X.G.; Xia, S.H.; J. Phys. Chem. B 110, 15858T, 2006.
- [36] Bagheri, H.; Arab, S.M.; Khosh safar, H.; Afkhami, A.; New J. Chem. 39, 3875-3896, 2015.
- [37] Esfandyari, M.; Mosayebi, A.; Abedini, R.; J. Appl. Res. Chem. (JARC) 13, 113-125, 2019.
- [38] Bard; A.; Faulkner, L.; "Electrochemical methods fundamentals and applications", 2<sup>nd</sup> ed., Wiley, New York, 2001.

**Simultaneous determination of dopamine and tryptophan using modified glassy carbon electrode with dandelion like  $\text{Co}_3\text{O}_4$  nanoflowers****Najmeh Sheybani<sup>1</sup>, Shohreh Jahani<sup>2</sup>, Mohammad Mehdi Foroughi<sup>3,\*</sup>**

1. Ph.D Student of Analytical Chemistry, Department of Chemistry, Islamic Azad University, Kerman Branch, Iran.

2. Assistant Prof. of Inorganic Chemistry, Bam University of Medical Sciences, Bam, Iran.

3. Associate Prof. of Analytical Chemistry, Department of Chemistry, Islamic Azad University, Kerman Branch, Kerman, Iran.

**Abstract:** In this work, glassy carbon electrode modified with dandelion like  $\text{Co}_3\text{O}_4$  nanoflower was proposed as an electrochemical sensor to achieve a high-sensitivity electrochemical sensor. The morphology and purity of the synthesized nanoflowers were studied using X-ray diffraction (XRD), scanning electron microscopy (SEM), and energy dispersive X-ray spectrometer (EDS). Then electro-oxidation of the dopamine and tryptophan at the modified electrode surface was studied using cyclic voltammetry, chronoamperometry, and differential pulse voltammetry. Under optimized conditions, the differential pulse voltammetric pulse current increased with increasing dopamine concentration in the range of 0.1 to 0.900  $\mu\text{M}$  and the detection limit of dopamine was calculated as 0.01  $\mu\text{M}$ . The modified electrode showed a very good resolution between voltammetric peak of dopamine and tryptophan, making it suitable for detecting dopamine in the presence of tryptophan in real samples. High sensitivity and good repeatability of the electrode along with low detection limit can be considered as outstanding features of this electrode. This sensor was successfully used to accurately determination of dopamine and tryptophan in ampoules and urine samples.

**Keywords:** Dopamine, Tryptophan, Dandelion like  $\text{Co}_3\text{O}_4$  nanoflower, Voltammetry.

\* Corresponding author Email: foroughi@iauk.ac.ir

Journal of Applied Research in Chemistry